

1. まえがき：既に著者は、John により導かれている2次元波動場におけるグリーン関数、すなはち振動するわき出し関数 ϕ を用いて固定された任意断面物体に作用する波力並びに物体による波の変形に関する解析法について明らかにしてきた。そして解析の要となるグリーン関数 ϕ 及びその法線微分値 $\partial \phi / \partial n$ の特異点における挙動について明確になると共にこれら関数の合理的な算定式についても明らかにしてた。本報は浮体の波浪動揺問題に対する考え方とするため、解析法を発散波問題にまで拡張・展開したものである。そして、各種の断面を有する物体の動的流体力保険並びに発散波の算定を行い、従来の算定結果との比較から、解析法の各当性を検討する。次に既に明らかにしている回析波問題の解析法と結合して、各断面浮体の波浪応答並びに浮体による波の変形についても算定を行い、従来の算定結果との比較により本解析法の各当性を総合的に判定しようとするものである。

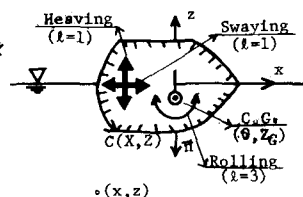
2. 解析法の概略： i) 発散波問題について；図-1 に示すように有限水深中の2次元流体場で、任意断面物体が単位速度振幅をもつて各々 Sway, Heave, Roll の運動方向に角振動数 $\omega (=2\pi/f)$ で調和振動すると、各運動モードに起因する発散波の速度ポテンシャル φ_l ($l=1, 2, 3$; 1 ⇒ Sway, 2 ⇒ Heave, 3 ⇒ Roll) は、2次元波動場のグリーン関数 ϕ を用いて式(1)で表示できる。

$$\varphi_l(x, z; t) = \phi_l(x, z) e^{-i\omega t} = \int_C f_l(x, z) \cdot \phi(x, z; x, z) dz \cdot e^{-i\omega t} \quad (1) \quad (l=1, 2, 3)$$

ここで (x, z) は運動場中の任意点 x , (x, z) は物体表面上の点を示す。また $f_l(x, z)$ は、運動モード l につきのわき出し強さの分布関数であり、物体表面上の運動学的な境界条件、式(2)により決定される。

$$\frac{\partial \phi_l}{\partial n(x, z)} \Big|_{on C} = \int_C f_l \cdot \frac{\partial \phi}{\partial n(x, z)} dz = g_l \cdot \dot{g}_l \quad (2) \quad (l=1, 2, 3)$$

ここに \dot{g}_l は運動モード l の速度振幅でこの場合 $\dot{g}_1 = 1$ である。また g_l は法線ベクトルの各成分で式(3)により与えられるものである。



$g_1 = \dot{x}_z, \quad g_2 = \dot{z}_x, \quad g_3 = (\dot{z} - \dot{z}_G)x_x - \dot{x}_z \quad (3)$ 図-1 座標系及び浮体運動モードとして式(2)を解いて f_l が決定されると、これを式(1)に代入して φ_l が求まることになる。本解析法では任意断面物体を対象にすることから、物体の断面曲線を微小線素分に分割すると共にその微小線素分にわたるわき出し強さは一定であると仮定して式(2)を数値方程式に变换して f_l を決定している。また式(1)についても同様に数値化を行って ϕ_l を算定している。なおこれらの数値方程式を取扱うにあたり、 G , $\partial \phi / \partial n$ の特異点 ($x=x$, $z=z$) における算定が問題となるが、これについては既に著者が明らかにしてある算定式に基づいて行つた。この算定式については文献1)に詳述してあるが、その概略を述べると ① G , $\partial \phi / \partial n$ に含まれる定常波モード成分の無限級数和を合理的に算定できること、② G , $\partial \phi / \partial n$ に含まれる特異関数が分離表示されており、しかも特異関数の線素分にわたる積分が解析的に与えられていることから、特異点における G , $\partial \phi / \partial n$ の算定が陽な表示式を用いて精確に行えることなどの特性を有する。このようにして求められた ϕ_l を用いて圧力 P_l が線形化された圧力方程式により $P_l = i\omega \phi_l$ により与えられることに注意すると、運動モード l の調和振動により各方向に作用する動的流体力 F_{Kl} ($k=1, 2, 3$) は式(4)により算定される。

$$F_{KL} = - \int_C i \rho \phi_L \cdot g_K dC \quad (K, L = 1, 2, 3) \quad (4)$$

ii) 浮体の動揺問題について；運動モード χ の動搖速度が $\dot{\chi}_x$ であるとき、作用する動的流体力は式(2)の境界条件から推測されるように 式(4)の F_{KL} の $\dot{\chi}_x$ 倍となる。ことに注意して運動モード χ の方向に沿うる振動方程式を導くと式(5)のようになる。

$$M_s \ddot{\chi}_x + C_s \dot{\chi}_x + K_s \chi_x = e F_K + \sum_{L=1}^3 \dot{\chi}_x F_{KL} \quad (K=1, 2, 3) \quad (5)$$

ここに M_s : 浮体の質量あるいは慣性モーメント、 C_s : 構造系の減衰係数、 K_s : 静止流体力学的な復元力及び構造系の復元力のベネ定数、 $e F_K$: 固定浮体に作用する波力である。なお式(5)では、慣性力並びに復元力についての連成振動効果は無いものと仮定している。子午動的流体力の項 $\dot{\chi}_x F_{KL}$ は、 F_{KL} を実数部と虚数部に分離することにより各々 $\dot{\chi}_x$ に比例する子波減衰力と $\dot{\chi}_x$ に比例する付加質量力に更に分離される。そして回析波問題を解いて得られる $e F_K$ の算定結果及び式(4)に基づく F_{KL} を式(5)に代入することにより応答変位 χ_x が求められる。またこの χ_x を用いて浮体の動搖による波の変形(すなはち、入射波、回析波、散波の3者を考慮して式(6)により算定される)。

$$\ddot{\chi} = \frac{i \omega}{g} \{ \phi_I + \phi_D + \sum_{L=1}^3 \dot{\chi}_x \phi_L \} \quad (6)$$

ここで ϕ_I 、 ϕ_D は各々入射波、回析波の速度ポテンシャルである。

3. 算定結果：式(1)、(2)を数値方程式に変換して解くに当り、物体の断面曲線と繰乗係数 ΔC へ分割する方法が問題となる。本研究では、既に回析波問題を対象とした場合に得られた規準 $\Delta C/L \leq 0.03$ が散波問題についても同様に適用できるものとしてこの規準により ΔC を決定した。図-2、図-3 は半潜水円柱の付加質量係数についての算定例を示すもので、さき水と水深の比 d/h をパラメーターにして周期に関する無次元量 $k_0 r_B$ (r_B : 波数、 r_B : 静水面位置での物体幅の半分) による変化を表す。図中には、比較のため本解析法と同様にわき出し分布法を用い、流れ関数の表示による解法を行った高木による算定結果も併せて示してある。 $d/h = 0.83$ の場合の C_{M22} に多少の相違が見られる以外、両者の変動傾向はほぼ一致していることがわかる。 C_{M22} に関する差異の原因としては、高木の解析法では上記 2. の①、③を述べたような G 、 $\partial G / \partial x$ の特異点における検討が十分行われていないことによるものと考えられる。

次に図-4 へ図-6 は、矩形浮体の波浪応答値及び反射率に関する算定例を示すもので、図中には比較のため速度ポテンシャルの繰乗法によるせき島の算定結果も併せて示してある。これらの図から、本算定結果はせき島との値とよく一致しており、本解析法の有効性が認められる。以上の検討結果、本解析法は任意断面を有する浮体に適用でき、しかも物体表面上のわき出し強さを未知数とする効率の良い、合理的な算定手法であることが確認された。

(参考文献)

1) 中村他、"わき出し分布法と風浪による2次元物体まわりの波変形と流体力の解析法"、第9回国際講習会集、1982

2) 高木幹男、"浮体における船体運動について(その1)"、西部造船会報第50号、1975

3) 井島武士、"有限水深域の構造物および浮体による波の変形"、1974年度水工学に関する夏季研修会講義集、土木学会

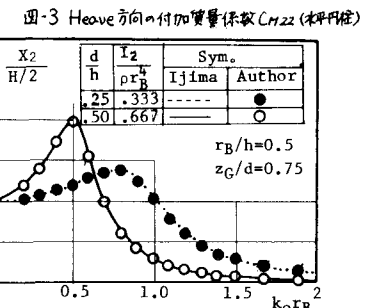
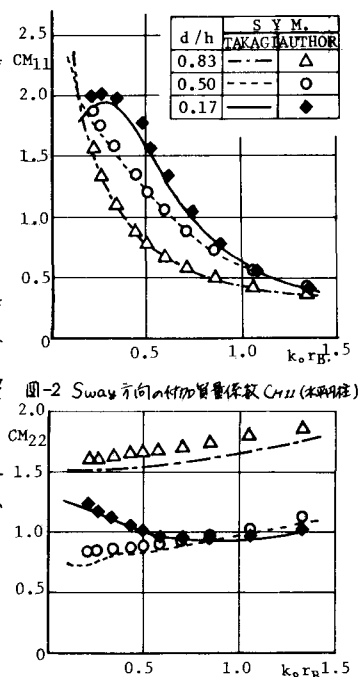


図-3 Heave 方向の付加質量係数 C_{M22} (半潜水)

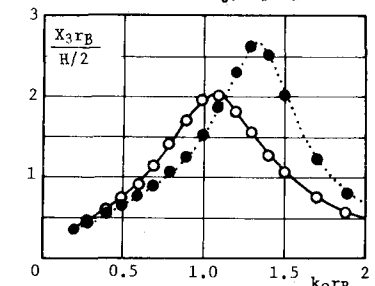


図-4 矩形浮体のHeaving応答値

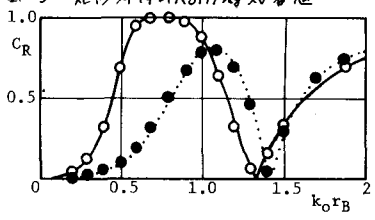


図-5 矩形浮体のRolling応答値

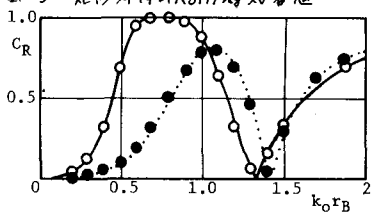


図-6 矩形浮体による反射率 CR